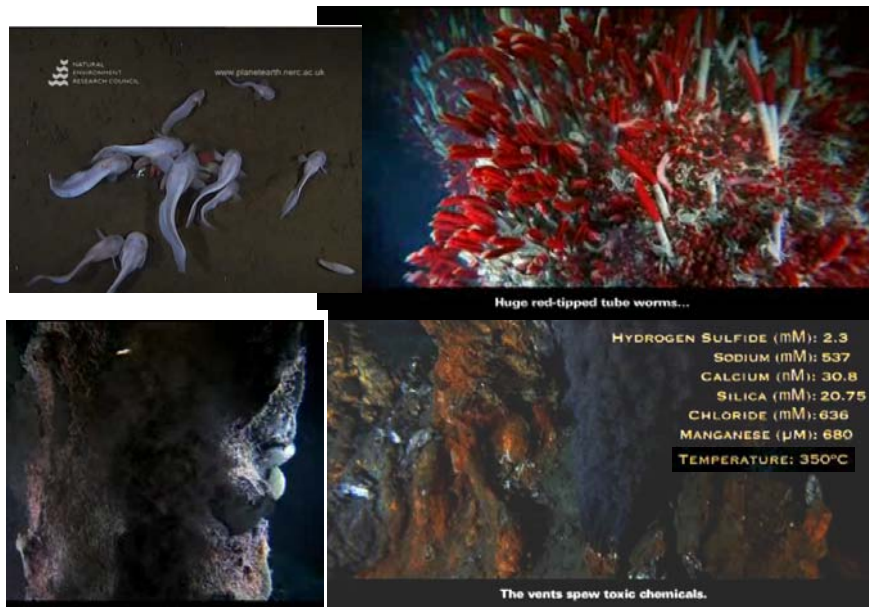


Fehérjék stabilitása: stabilitási fázisdiagram, extrém körülmények, termofil és piezofil enzimek

Smeller László



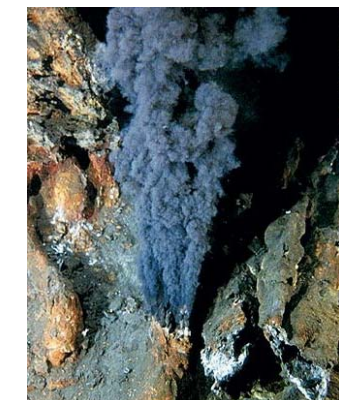
<http://ocean.si.edu/ocean-videos/hydrothermal-vent-creatures>

Destabilizáló környezeti paraméterek

- Fizikai
 - magas hőmérséklet
 - alacsony hőmérséklet
 - nyomás
- Kémiai
 - urea (nagy koncentrációban)
 - GuHCl [guadinium klorid] (nagy conc.)



Thermophiles, a type of extremophile, produce some of the bright colors of Grand Prismatic Spring, Yellowstone National Park



The first extremophile to have its genome sequenced was *Methanococcus jannaschii*, a microbe that lives near hydrothermal vents 2,600 meters below sea level, where temperatures approach the boiling point of water and the pressure is sufficient to crush an ordinary submarine. Image credit: NOAA

Fizikai paraméter: hőmérséklet

Kétállapotú modell: natív (N) és denaturált (D)

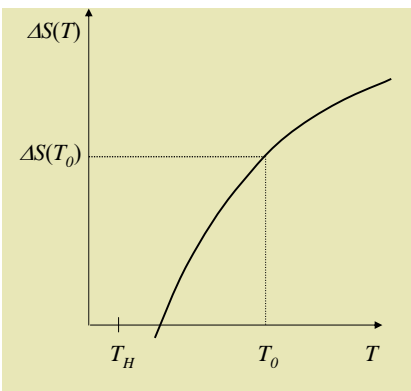
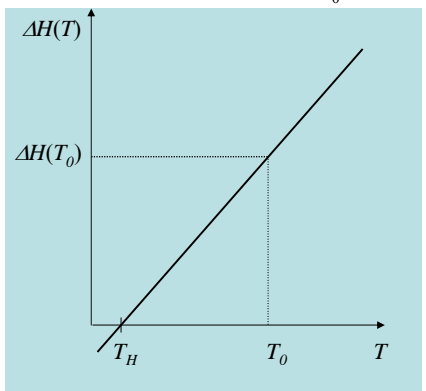
$$\Delta H(T) = H_D(T) - H_N(T)$$

$$\frac{\partial \Delta H}{\partial T} \Big|_p = \Delta C_p \quad \frac{\partial \Delta S}{\partial T} \Big|_p = \frac{\Delta C_p}{T}$$

$$\Delta H(T) = \Delta H(T_0) + \int_{T_0}^T \Delta C_p dT$$

$$\Delta S(T) = \Delta S(T_0) + \int_{T_0}^T \frac{\Delta C_p}{T} dT$$

$$\Delta H(T) = \Delta H(T_0) + \int_{T_0}^T \Delta C_p dT = \Delta H(T_0) + (T - T_0)\Delta C_p$$



$$\Delta S(T) = \Delta S(T_0) + \int_{T_0}^T \frac{\Delta C_p}{T} dT = \Delta S(T_0) + \Delta C_p \ln\left(\frac{T}{T_0}\right)$$

Válasszuk T_0 -t úgy, hogy $T_0 > T_c$:

$$G_N(T_0) = G_D(T_0)$$

$$\Delta G(T_0) = G_D(T_0) - G_N(T_0) = 0$$

(Azaz T_0 egy denaturációs hőmérséklet.)

$$\Delta G(T_0) = \Delta H_D(T_0) - T_0 \Delta S_N(T_0) = 0$$

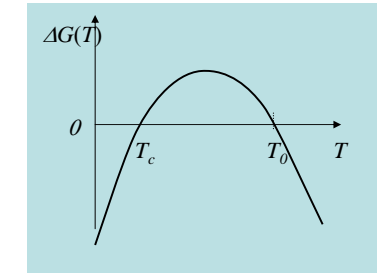
ha C_p független a hőmérséklettől:

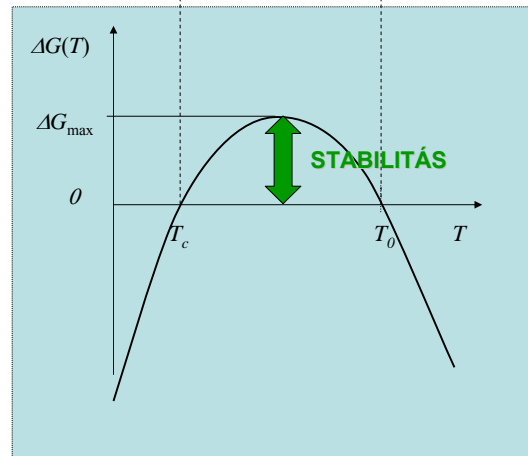
$$\Delta H(T) = \Delta H(T_0) + \int_{T_0}^T \Delta C_p dT = \Delta H(T_0) + (T - T_0)\Delta C_p$$

$$\Delta S(T) = \Delta S(T_0) + \int_{T_0}^T \frac{\Delta C_p}{T} dT = \Delta S(T_0) + \Delta C_p \ln\left(\frac{T}{T_0}\right)$$

$$\Delta G(T) = \Delta H(T) - T \Delta S(T) =$$

$$= (T - T_0)(\Delta C_p - \Delta S(T_0)) - \Delta C_p \ln\left(\frac{T}{T_0}\right) =$$





$$\frac{W_D}{W_N} = e^{-\Delta G / RT}$$

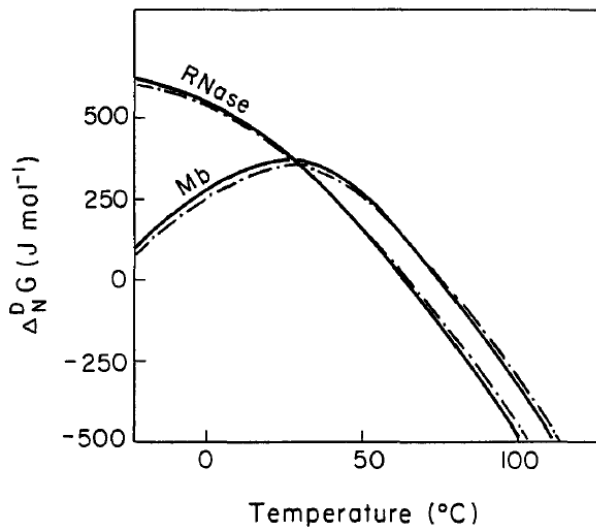
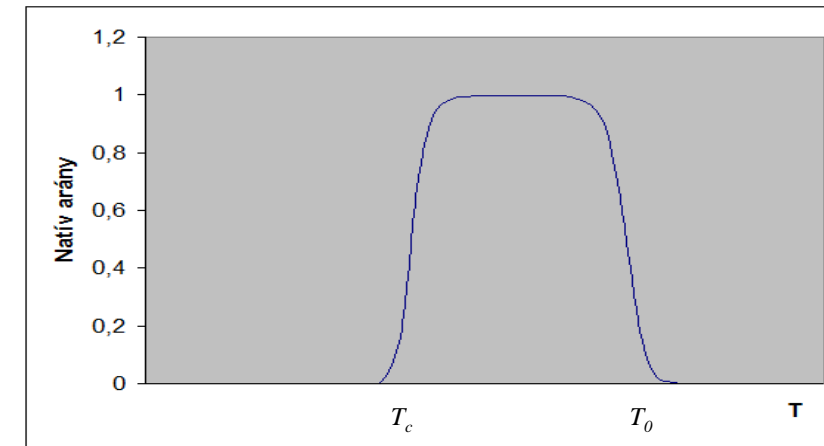


FIGURE 7. The $\Delta_n^D G$ function for RNase and Mb for the same conditions as in Figure 6 calculated from the assumption that $\Delta_n^D C_p$ is temperature independent (dot-dash line) and temperature dependent (dashed line).¹¹⁴

Hideg denaturáció

- Gyakran 0 °C alatt
- Méréstechnikai problémák
- Megoldás:
 - más denaturáló ágens használata: destabilizáció, T_c emelkedik.
 - a víz fázisdiagramjának kihasználása: nyomás alatt akár -20 °C-ig le lehet menni

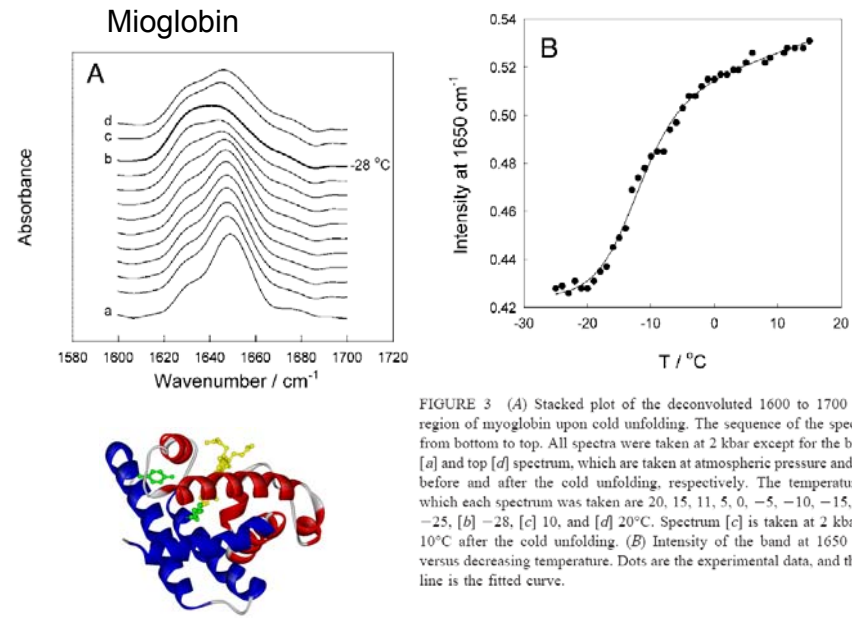
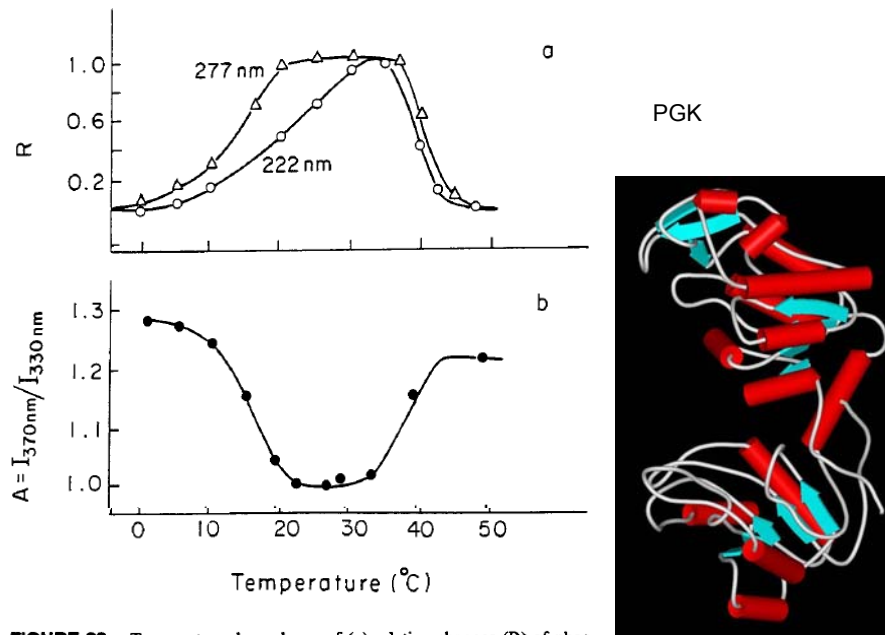


FIGURE 3 (A) Stacked plot of the deconvoluted 1600 to 1700 cm^{-1} region of myoglobin upon cold unfolding. The sequence of the spectra is from bottom to top. All spectra were taken at 2 kbar except for the bottom [*a*] and top [*d*] spectrum, which are taken at atmospheric pressure and 20°C before and after the cold unfolding, respectively. The temperatures at which each spectrum was taken are 20, 15, 11, 5, 0, -5, -10, -15, -20, -25, [*b*] -28, [*c*] 10, and [*d*] 20°C. Spectrum [*c*] is taken at 2 kbar and 10°C after the cold unfolding. (B) Intensity of the band at 1650 cm^{-1} versus decreasing temperature. Dots are the experimental data, and the full line is the fitted curve.

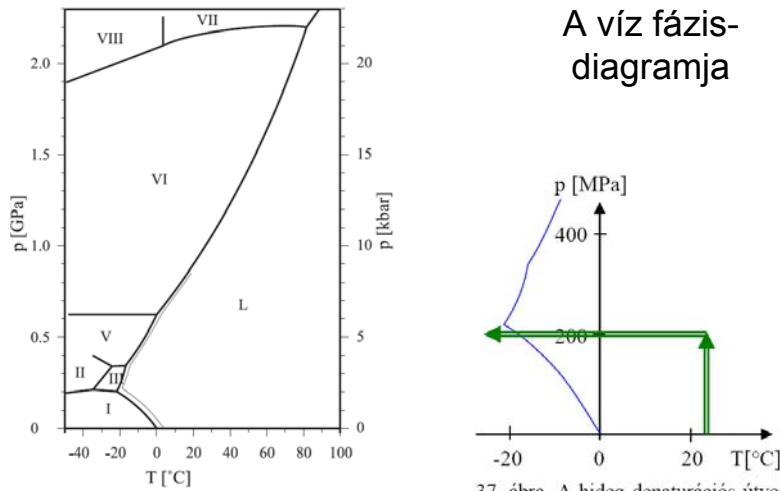
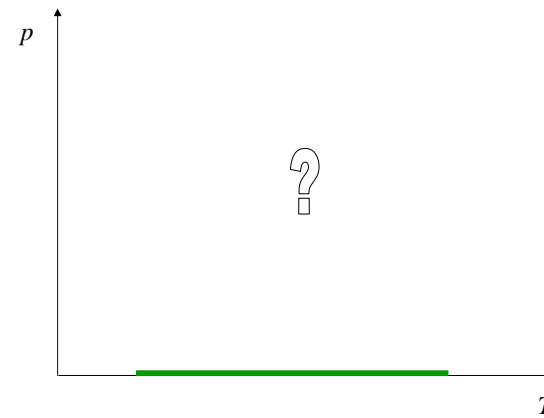


Fig. 1. Phase diagram of water in the temperature range of -50 to +100°C up to a pressure of 2.2 GPa. L refers to the liquid phase; roman numbers (I–VIII) show the different ice phases. The dotted line shows the melting curve of heavy water.

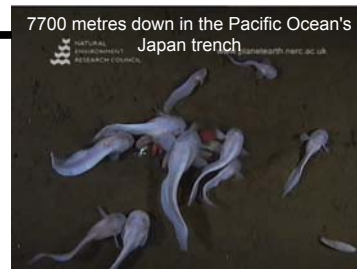
37. ábra. A hideg denaturációs útvonal a p - T síkon. A kék görbe jelzi a desztillált víz fagyásgörbét, amit Bridgmann (1935) mérései alapján rajzoltunk meg.

A nyomás-hőmérséklet fázisdiagram



Miért érdekes a nagy nyomás?

- Miért ne?
termodin. param.
 $T, p,..$
- A bioszférában
 $p=1 \text{ bar} \dots 1 \text{ kbar}$
- Olyan adatok nyerhetők amelyek 1bar-on is értelmezhetők



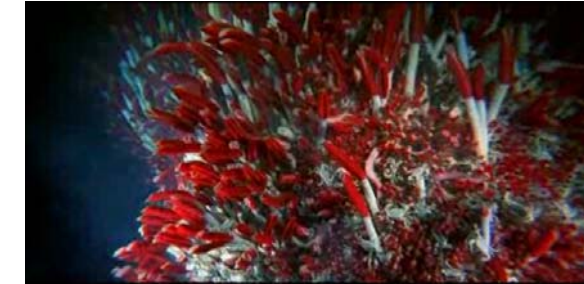
1 bar = 0,1 MPa

1 kbar = 100 MPa

10 kbar = 1GPa

1Mbar=100GPa

- Technikailag nehéz
- $p=1$ bar-os atmoszférában élünk



<http://ocean.si.edu/ocean-videos/hydrothermal-vent-creatures>

Milyen nagy nyomás?



emberi élet

1 bar

100 kPa



max. nyomás a bioszférában: 1 kbar
(mélytengerek)

100 Mpa



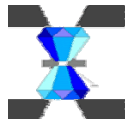
fehérje szerkezetváltozások 5-10 kbar 0.5-1 GPa



a víz megfagy szobahőm.-en ≈10 kbar 1GPa



a bolygók központjában ~ Mbar 100 GPa



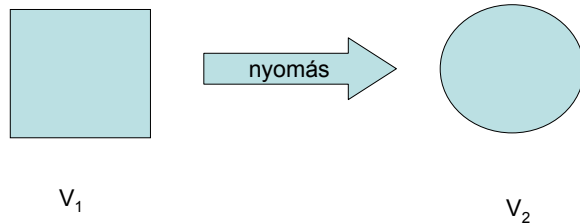
a laboratóriumban elérte néhány Mbar n.100 GPa



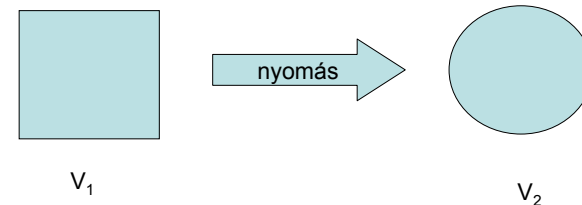
Milyen hatása van a nyomásnak?

Le-Chatelier-Braun-elv

nyomás \leftrightarrow térfogat



nyomás \leftrightarrow térfogat



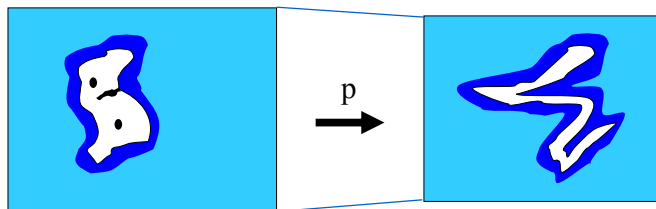
$$\left(\frac{\partial \Delta G}{\partial p} \right)_T = -RT \left(\frac{\partial \ln K}{\partial p} \right)_T = \Delta V$$

$$\ln K = -\frac{p\Delta V}{RT} + \text{konst.}$$

Milyen hatása van a nyomásnak a fehérjékre?

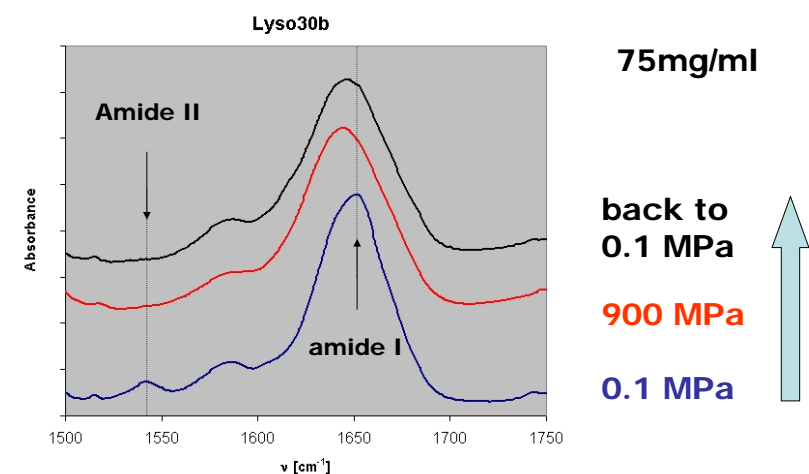
Nyomásdenaturáció

Fehérje oldatok

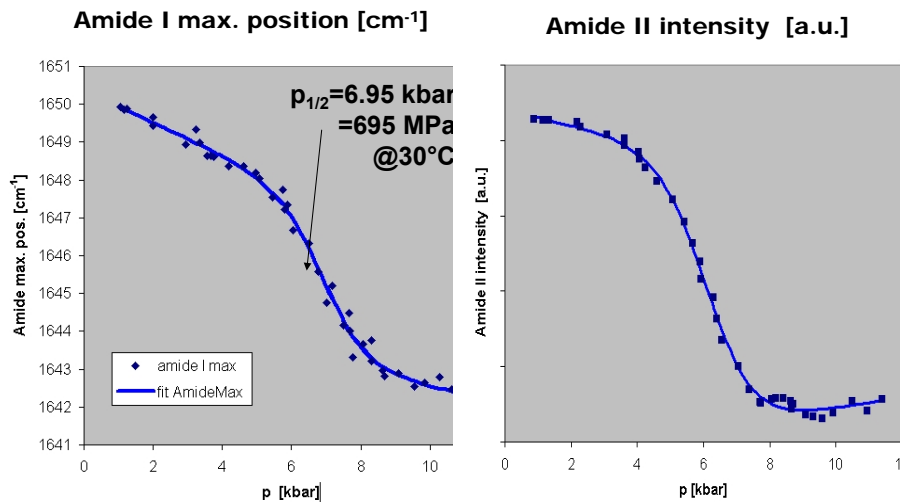


$$V_{\text{protein}} = V_{\text{atom}} + V_{\text{void}} + \Delta V_{\text{hydration}}$$

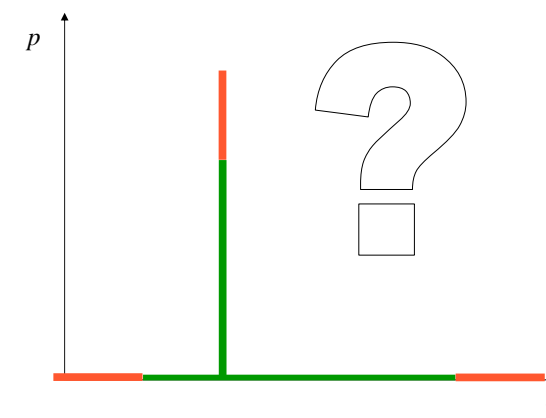
Nyomásdenaturáció: lizozim



Nyomásdenaturáció: lizozim



A nyomás-hőmérséklet fázisdiagram



A hőmérsékleti és nyomásdenaturáció egységes termodinamikai leírása

A kétállapotú modell: $\text{N} \leftrightarrow \text{D}$

$$\Delta G(T) = G_{\text{D}}(T) - G_{\text{N}}(T)$$

Egy T_0, p_0 referencia pontból indulva integráljuk ki a

$$d(\Delta G) = -\Delta S dt + \Delta V dp$$

mennyiséget a T, p pontig:

$$\Delta G(T, p) = \Delta G_0 + \int_{T_0}^T \int_{p_0}^p -\Delta S dt + \Delta V dp$$

$$\begin{aligned} \Delta G &= \frac{\Delta \beta}{2} (p - p_0)^2 + \Delta \alpha (p - p_0)(T - T_0) - \\ &\quad - \Delta C_p \left[T \left(\ln \frac{T}{T_0} - 1 \right) + T_0 \right] \\ &\quad + \Delta V_0 (p - p_0) - \Delta S_0 (T - T_0) + \Delta G_0 \end{aligned}$$

ahol: $\beta = (\partial V / \partial p)_T$ az ún. kompresszibilitási faktor,
 $\alpha = (\partial V / \partial T)_p = -(\partial S / \partial p)_T$ a hőtágulási együttható,
 $C_p = T (\partial S / \partial T)_p$ az állandó nyomáson mért fajhő

$T \approx T_0$ esetén:

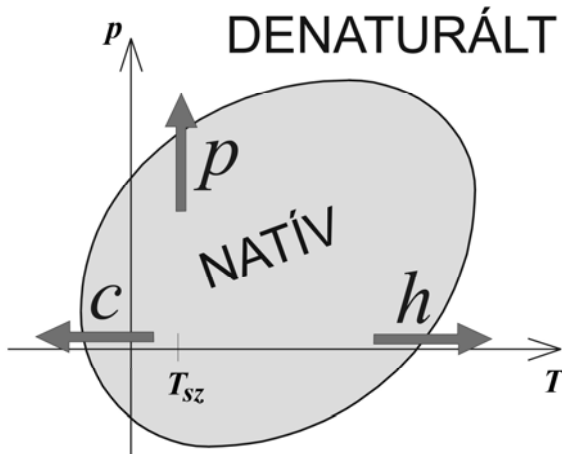
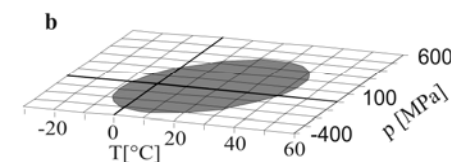
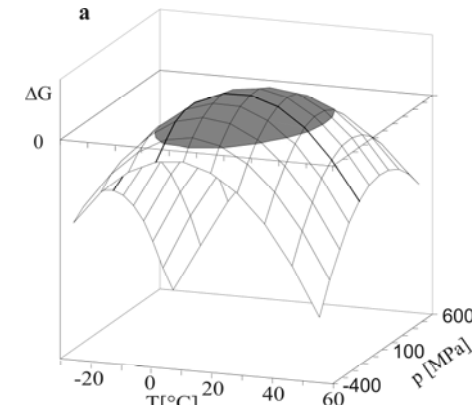
$$T \left(\ln \frac{T}{T_0} - 1 \right) + T_0 \approx \frac{(T - T_0)^2}{2T_0}$$

$$\Delta G = \frac{\Delta\beta}{2}(p - p_0)^2 + \Delta\alpha(p - p_0)(T - T_0) - \frac{\Delta C_p}{2T_0}(T - T_0)^2 \\ + \Delta V_0(p - p_0) - \Delta S_0(T - T_0) + \Delta G_0$$

Másodfokú T-ben is és p-ben is!

A denaturációs pontokon: $\Delta G = 0$

Ha $\Delta\alpha^2 > \Delta C_p \Delta\beta / T_0$, akkor a $\Delta G(T, p) = 0$ pontok a T p síkon egy ellipszist határoznak meg

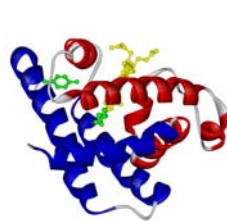


Mennyire igaz ez a kétállapotú modell a valódi fehérjékre, fehérjeoldatokra?

Csak egy denaturált állapot létezik?
Intermolekuláris kölcsönhatások?

Kísérleti eredmények T-p fázisdiagramokra

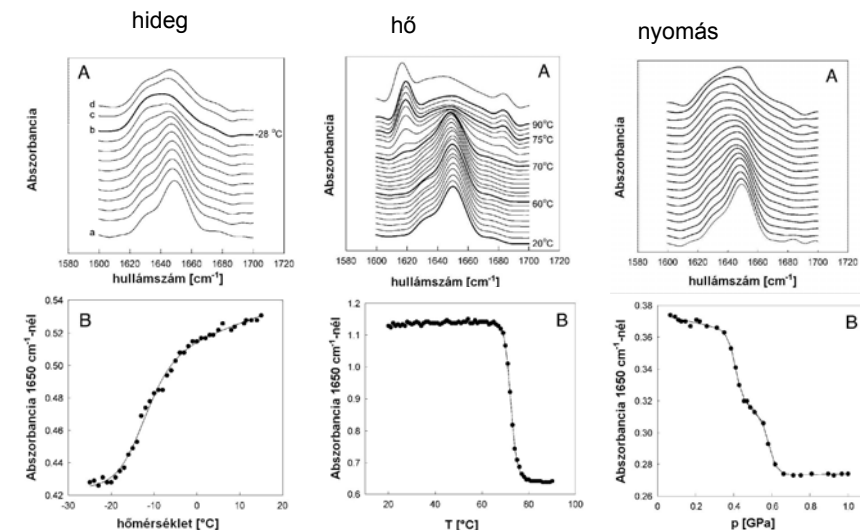
Mioglobin



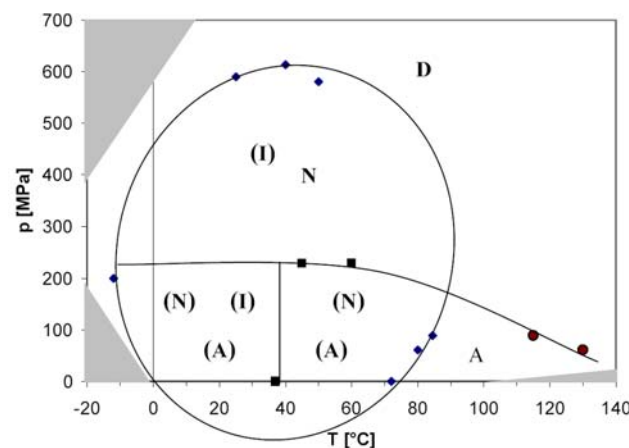
Lizozim



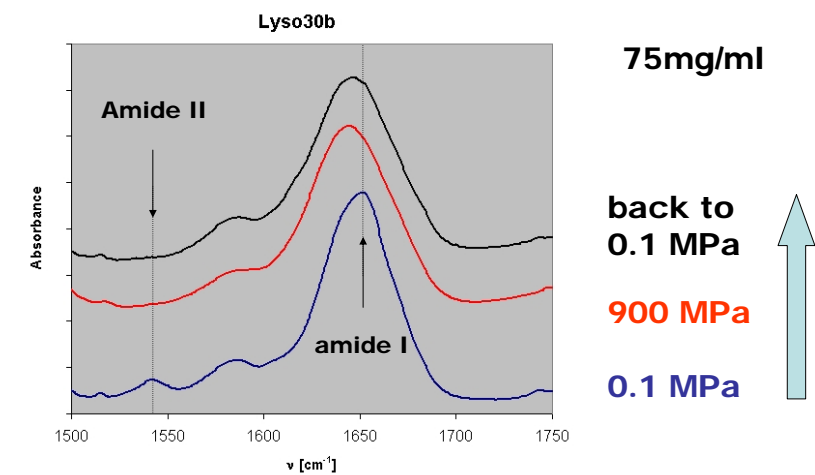
Mioglobin: FTIR spektroszkópia



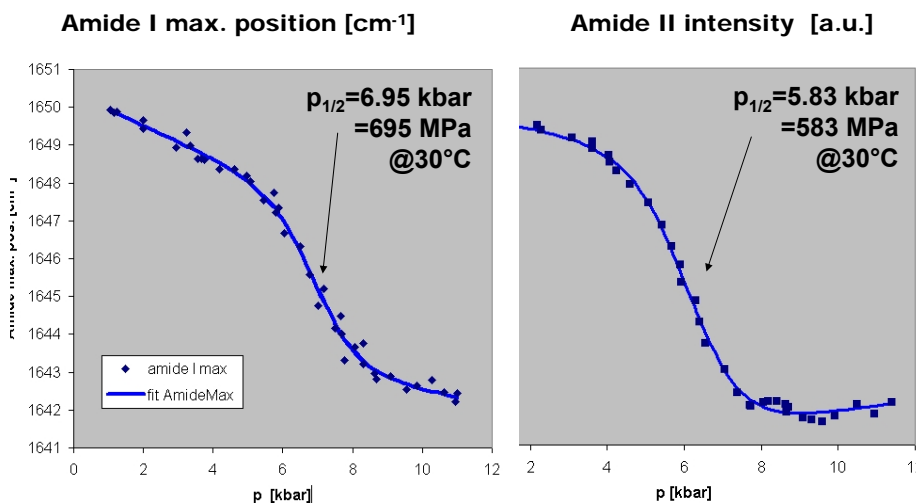
Mioglobin: fázisdiagram



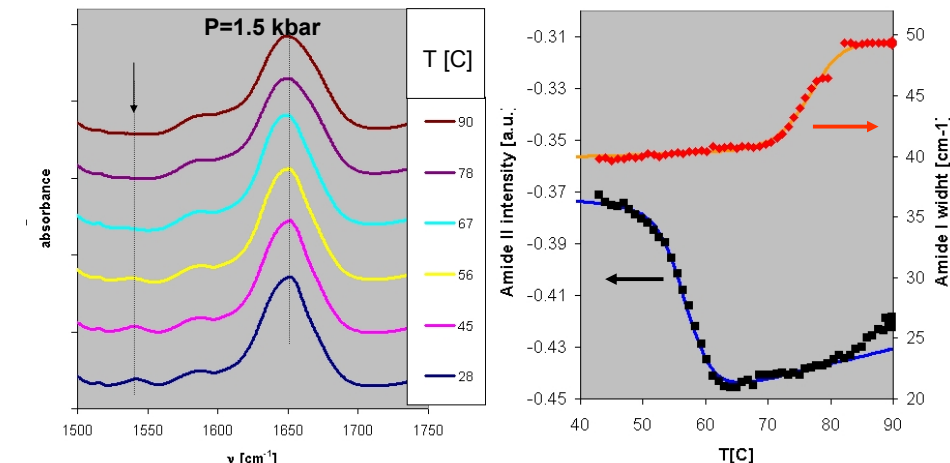
Lizozim: FTIR Spektroszkópia



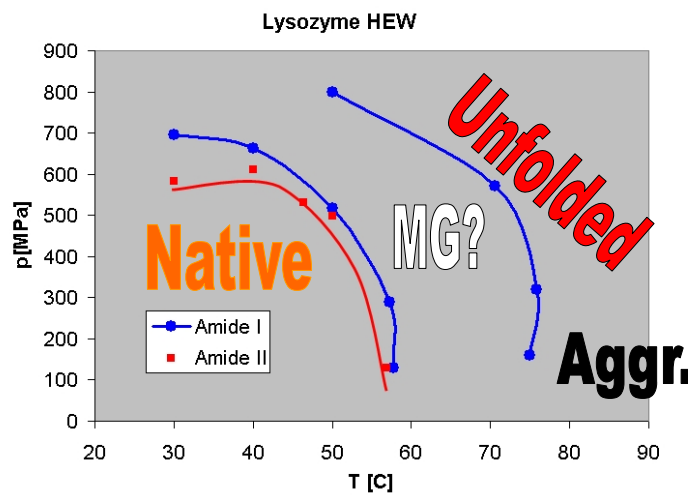
Lizozim: nyomásdenaturáció



Lizozim: hődenaturáció

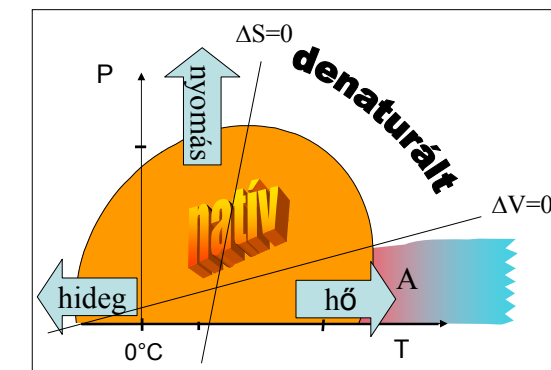


Lyzozim: T-p fázisdiagram



Nyomás-hőmérséklet fázisdiagram: a valóság

$$\Delta G = \Delta G_0 - \Delta S_0(T - T_0) - \frac{\Delta C_p}{2T_0}(T - T_0)^2 + \Delta V_0(p - p_0) + \frac{\Delta \beta}{2}(p - p_0)^2 + \Delta \hat{\alpha}(p - p_0)(T - T_0) + \dots$$

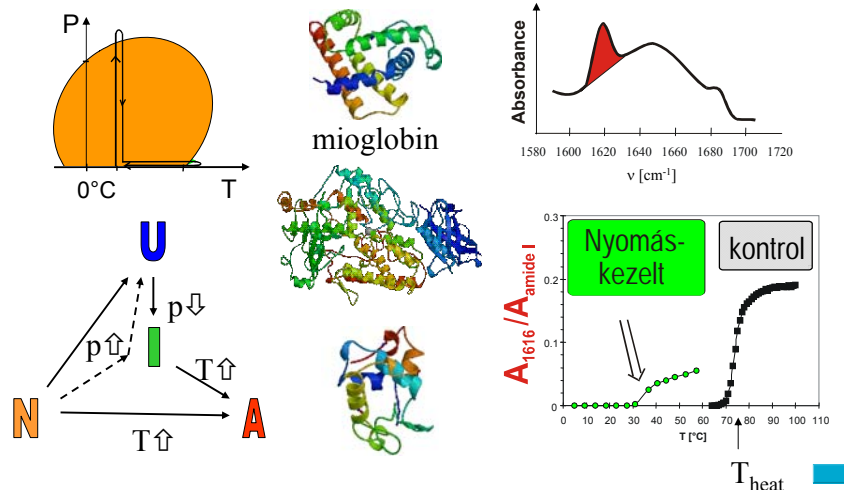


intermolekuláris kh.: aggregáció (conc!)

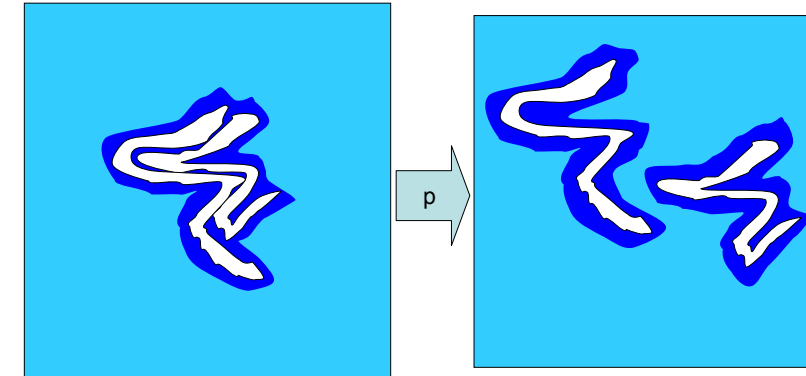
nyomás- és hideg- denaturáció: ΔV

hődenaturáció: ΔS

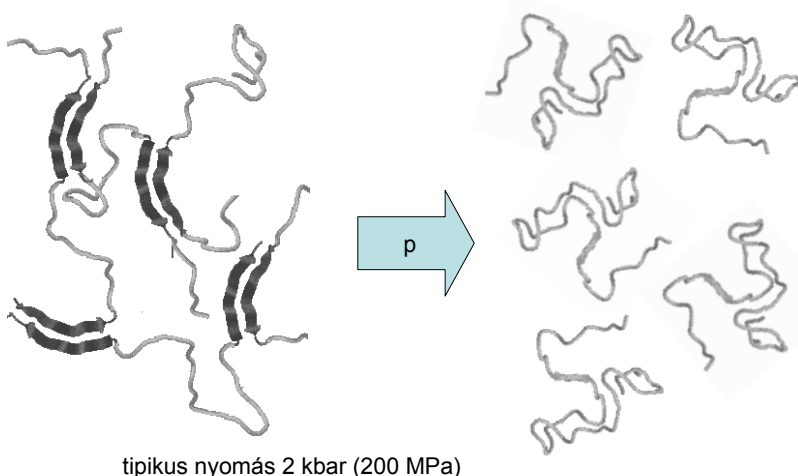
Aggregációra hajlamos intermedierek keletkezése nyomáskezelés hatására



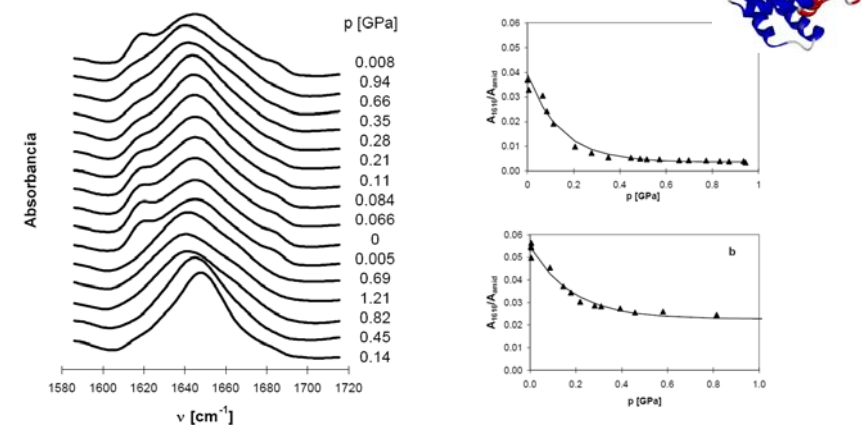
Intermolekuláris kölcsönhatások és a nyomás



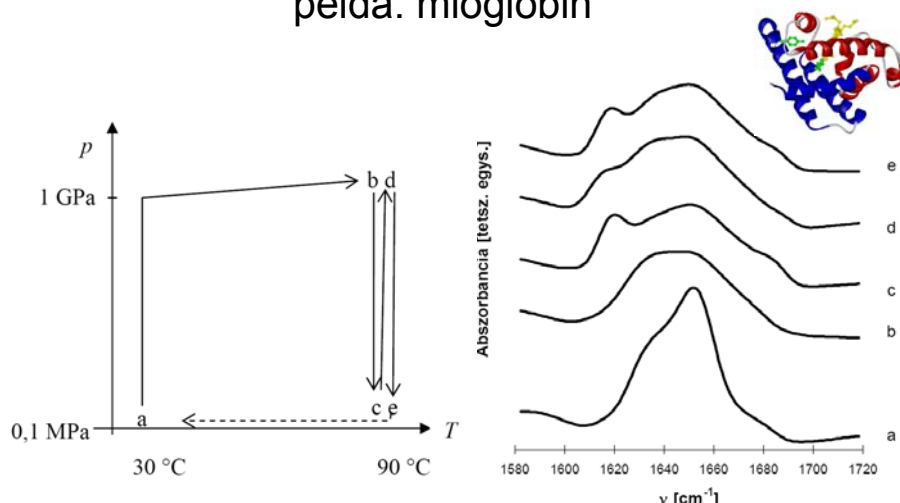
Intermolekuláris kölcsönhatások és a nyomás



Aggregátumok disszociációja nyomással példa: mioglobin



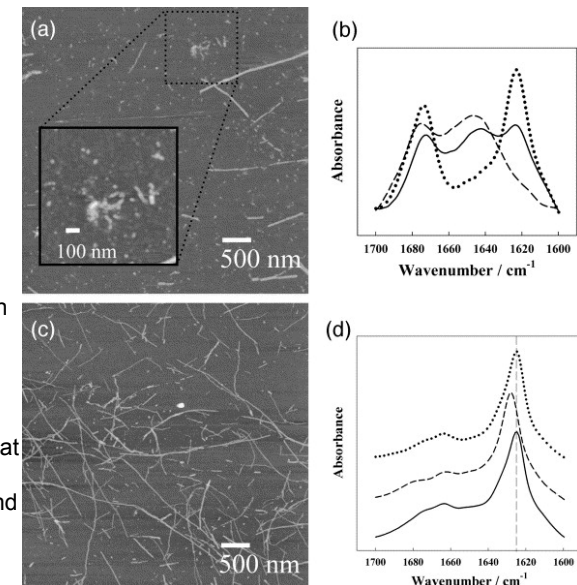
Aggregátumok disszociációja nyomással példa: mioglobin



Aggregátum és Fibrillum

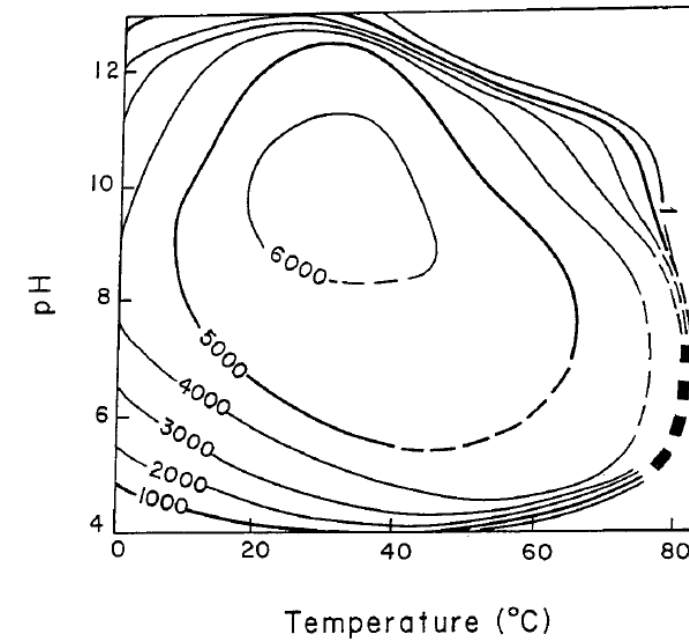
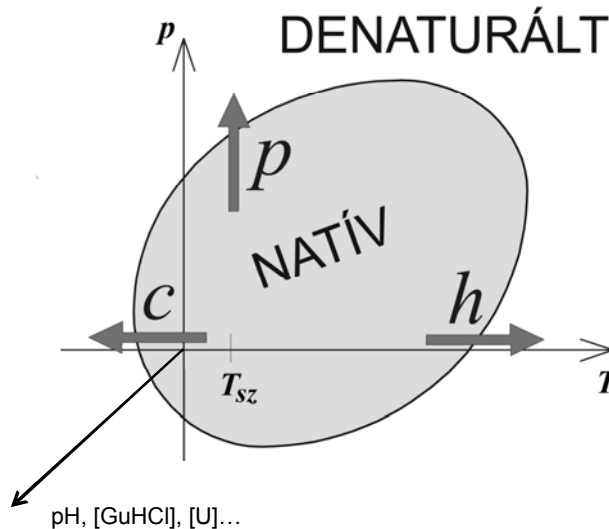
Day 1: (a) AFM (b)
amide I band of
TTR105–115 at
0.1 MPa (full line),
550 MPa (broken
line) and 0.1 MPa
after decompression
(dotted line).

Day 4: (c) AFM (d)
amide I band of
TTR105–115 fibrils at
0.1 MPa (lower),
1.3 GPa (middle) and
0.1 MPa after
decompression
(upper).



From Dirix et al

A harmadik (negyedik...) dimenzió



A nagy nyomás technikája

- vastag falú edény
- kis térfogató gyémántcella

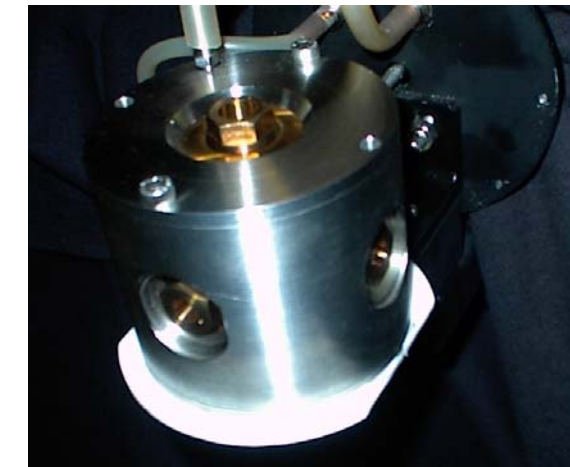


A nagy nyomás technikája

- Nagyon vastag
és szilárd falú
edény (bomba)

\varnothing kb 10 cm
minta \varnothing 10 mm

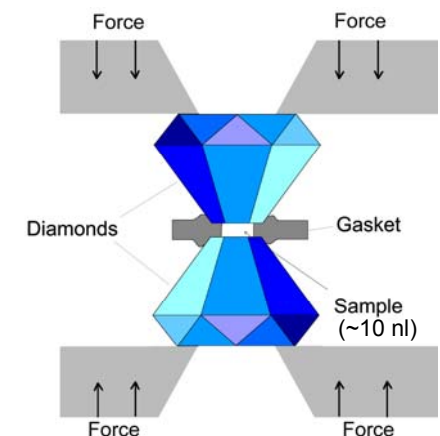
3 optikai ablak

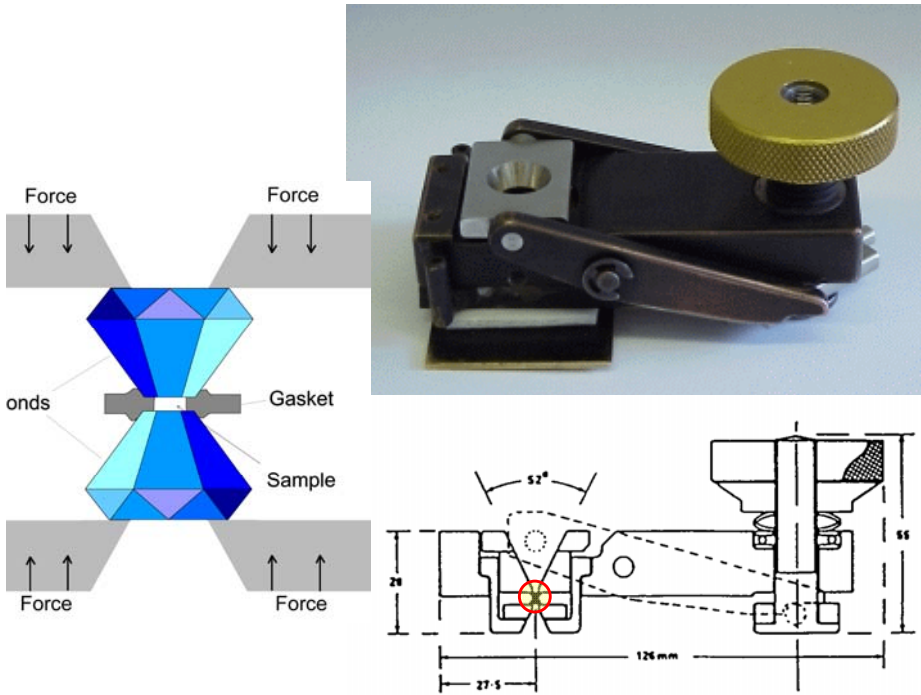


A nagy nyomás technikája

*DAC
diamond anvil cell*

- Nagyon kicsi
felület (ill.
térfogat)
 $\varnothing 0,5\text{mm}$





Alkalmazások



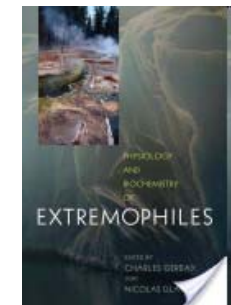
Nyomáskezelt pizza az egyik nagynyomásos konferencián

Nyomáskezelt élelmiszerök egy japán áruházban

Termofil és piezofil fehérjék

Extremofil mikroorganizmusok

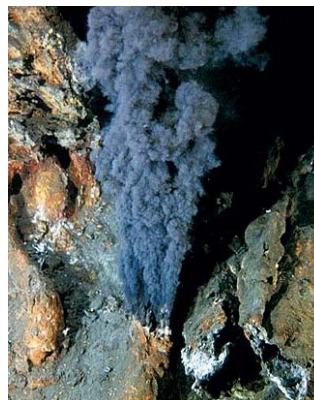
- extrém hőmérsékleten ($T > 100$ C)
- extrém nyomáson (több 100 bar)
- extrém kémiai körülmények
(savas v. lúgos) között
- élnek. (Pl. a tenger mélyén,
hőforrások közelében, stb.)



Ezekből izolálhatók a termofil és piezofil fehérjék

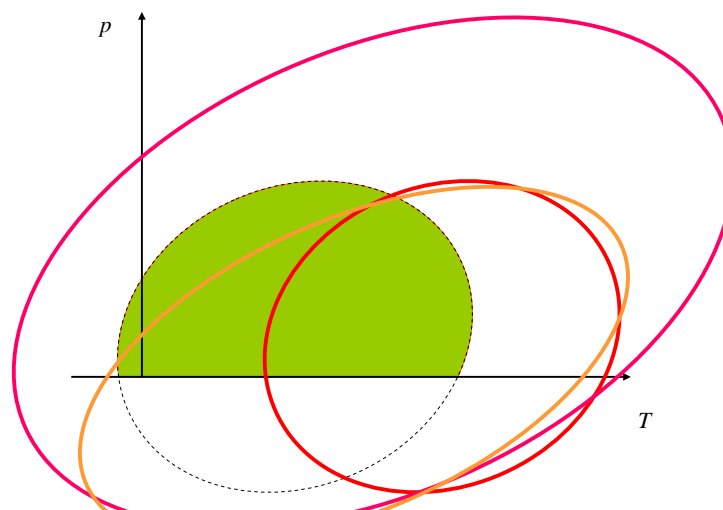


Thermophiles, a type of extremophile, produce some of the bright colors of Grand Prismatic Spring, Yellowstone National Park



The first extremophile to have its genome sequenced was *Methanococcus jannaschii*, a microbe that lives near hydrothermal vents 2,600 meters below sea level, where temperatures approach the boiling point of water and the pressure is sufficient to crush an ordinary submarine. Image credit: NOAA

Hogyan változik a fázisdiagram?



Nyomással növelt enzimaktivitás

Enzyme and Microbial Technology 45 (2009) 331–347

Contents lists available at ScienceDirect



Enzyme and Microbial Technology

journal homepage: www.elsevier.com/locate/EMT



Review

High pressure enhancement of enzymes: A review

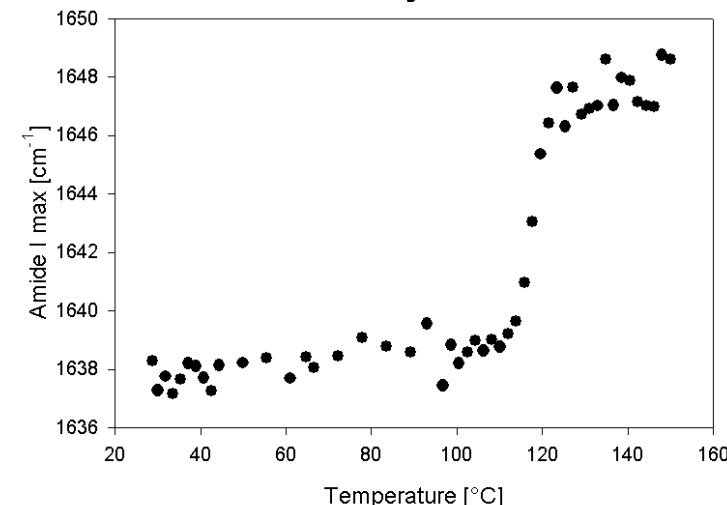
Michael J. Eisenmenger, José I. Reyes-De-Corcuera*

Citrus Research and Education Center, Institute of Food and Agricultural Sciences, University of Florida, 700 Experiment Station Road, Lake Alfred, FL, USA

pl.:

α -kimotripszin	0,1 MPa	=>	20°C	480 MPa	6,5x
polifenoloxidáz	0,1 MPa	=>		500 MPa	+40%
α -amiláz	59°C atm.p.	=>	64°C	152 MPa	+25%
pepsin	0,1 MPa	=>		300 MPa	270x
...					

Példa: SHSP16,5 fehérje a *Methanococcus jannaschii*-ból



Nyomástűrés

Nem túl nagy kihívás:

p bioszférában max. 1 kbar
normál fehérjestabilitás kb 5 kbar.



Mélytengeri élőlények

Enzimműködés és extrém körülmények

Pl:

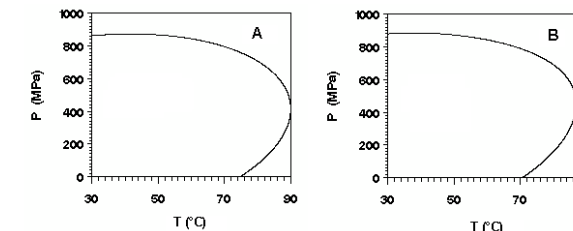


Figure 3. Heat-pressure iso-rate contour plots of 95 % inactivation of purified banana PME (in 20 mM Tris-HCl buffer, pH 7.0) for a total process time of 30 min ($k = 0.099858 \text{ min}^{-1}$) based on (A) the 'classical' thermodynamic model (eq 4); (B) the third-degree thermodynamic model (eq 6);

From: *Binh Ly-Nguyen et al, Effect of Mild-Heat and High-Pressure Processing on Banana Pectin Methyltransferase: A Kinetic Study*

Irodalom

- Privalov PL. Cold denaturation of proteins. *Crit Rev Biochem Mol Biol.* 1990;25(4):281-305.
- Meersman, F., Smeller, L., Heremans, K (2005) Extending the pressure-temperatura state diagram of myoglobin *Helv. Chim. Acta* 88, 546-556
- Tölgyesi, F., Böde Cs., Smeller, L., Kim, K. K., Heremans, K., Fidy, J. (2004) Pressure activation of the chaperone function of small heat-shock proteins *Cell. Mol. Biol.* 50, 361-369.
- F. Meersmann, L. Smeller, K. Heremans (2002) A comparative study of cold-, pressure- and heat-induced unfolding and aggregation of myoglobin *Biophys. J.* 82 2635-2644.
- L. Smeller (2002) Pressure-temperature phase diagram of biomolecules *Biophys. Biochim. Acta* 1595 11-29.
- L. Smeller, P. Rubens, K. Heremans (1999) Pressure effect on the temperature induced unfolding and tendency to aggregate of myoglobin *Biochemistry* 38 3816-3820.
- Smeller László: A fehérjék konformációs és dinamikai tulajdonságai. *Új eredmények nagy nyomással kombinált infravörös és fluoreszcencia spektroszkópiai módszerekkel.* MTA doktori értekezés
- Ly-Nguyen B, Van Loey AM, Smout C, Verlent I, Duvetter T, Hendrickx ME. Effect of Mild-Heat and High-Pressure Processing on Banana Pectin Methyltransferase: A Kinetic Study *J Agric Food Chem.* 2003 Dec 31;51(27):7974-9.
- <http://bartlettlab.ucsd.edu/Research.html>
- <http://ocean.si.edu/ocean-videos/hydrothermal-vent-creatures>
- <http://www.hiperbaric.com/en>
- Dirix, C; Meersman, F; MacPhee, CE; Dobson, CM; Heremans, K High hydrostatic pressure dissociates early aggregates of TTR105-115, but not the mature amyloid fibrils *J. Mol Biol.* 347 (2005) 903-909
- Eisenmenger, Michael J.; Reyes-De-Corcuera, Jose I. High pressure enhancement of enzymes: A review *Enzyme Microbial Technol.* 45 (2009) 331-347